

Dérivation asymptotique de modèles diphasiques

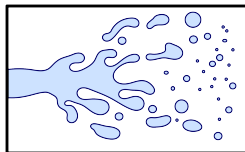
Nicolas Seguin

Équipe-projet Inria **Angus** (antenne Inria de l'Université de Montpellier)

Avec Matthieu Hillairet, Pierrick Le Vourc'h, Hélène Mathis, Khaled Saleh

Écoulements diphasiques

- Incidents avec vaporisation dans les **centrales nucléaires**
- Atomisation des jets pour les **injecteurs spatiaux**
- Écoulements de fluides dans des **conduites**



- **Mélange immiscible** de deux fluides (eau et air) ou deux phases (liquide et vapeur)
- **Fluides compressibles** (visqueux ou non, isothermes ou non...)
- Beaucoup d'**interfaces** et d'**inclusions** de formes complexes

- **Description exacte** impossible (et inutile)
- Application d'**opérateurs de moyenne** + **fermetures**
- **Hierarchie de modèles** suivant les échelles, les régimes...
(Couplage/adaptation dynamique des modèles...)

[Stewart, Wendroff 1984], [Drew, Passman 1998], [Ishii, Hibiki 2006]...

Méthodes de dérivation de modèles

Passages d'une phase à l'autre \rightarrow oscillations rapides

- Moyennes en temps ou en espace sur les oscillations
- Ajout d'aléa dans les équations et moyenne statistique
- Différentiation des variables lentes et rapides (développements WKB)

Par exemple :

1. Fonction caractéristique de la phase 1 : $\mathbf{1}_{\Omega_1(t)}(x) \in \{0, 1\}$
2. ... application d'une moyenne ...
3. Fraction volumique de la phase 1 : $\alpha_1(t, x) \in [0, 1]$

[Stewart, Wendroff 1984], [Drew, Passman 1998], [Ishii, Hibiki 2006]...

Méthodes de dérivation de modèles

Passages d'une phase à l'autre \rightarrow oscillations rapides

- Moyennes en temps ou en espace sur les oscillations
- Ajout d'aléa dans les équations et moyenne statistique
- Différentiation des variables lentes et rapides (développements WKB)

Par exemple :

1. Fonction caractéristique de la phase 1 : $\mathbf{1}_{\Omega_1(t)}(x) \in \{0, 1\}$
2. ... application d'une moyenne ...
3. Fraction volumique de la phase 1 : $\alpha_1(t, x) \in [0, 1]$

Difficultés

- Pas de commutation des opérateurs de moyenne avec les non linéarités
- Éventuelle destruction des "bonnes" structures des modèles initiaux

Pas encore de procédure de dérivation totalement satisfaisante...

- Calculs et fermetures heuristiques
- Manque de généralité des approches rigoureuses

Un modèle moyenné heuristique "complet"

[Baer, Nunziato 1986], [Saurel, Abgrall 1999], [Gallouët, Hérard, S. 2004]...

$$\partial_t \alpha_1 + V_I \cdot \nabla_x \alpha_1 = S_1$$

$$\partial_t(\alpha_1 \rho_1) + \nabla_x \cdot (\alpha_1 \rho_1 u_1) = M_1$$

$$\partial_t(\alpha_1 \rho_1 u_1) + \nabla_x \cdot (\alpha_1 \rho_1 u_1 \otimes u_1) + \nabla_x p_1 - P_I \nabla_x \alpha_1 = D_1$$

$$\partial_t(\alpha_1 \rho_1 E_1) + \nabla_x \cdot (u_1(\alpha_1 \rho_1 E_1 + p_1)) - P_I V_I \cdot \nabla_x \alpha_1 = H_1$$

$$\partial_t \alpha_2 + V_I \cdot \nabla_x \alpha_2 = S_2$$

$$\partial_t(\alpha_2 \rho_2) + \nabla_x \cdot (\alpha_2 \rho_2 u_2) = M_2$$

$$\partial_t(\alpha_2 \rho_2 u_2) + \nabla_x \cdot (\alpha_2 \rho_2 u_2 \otimes u_2) + \nabla_x p_2 - P_I \nabla_x \alpha_2 = D_2$$

$$\partial_t(\alpha_2 \rho_2 E_2) + \nabla_x \cdot (u_2(\alpha_2 \rho_2 E_2 + p_2)) - P_I V_I \cdot \nabla_x \alpha_2 = H_2$$

avec

$$\begin{array}{l} \alpha_1 + \alpha_2 = 1 \\ S_1 + S_2 = 0 \\ M_1 + M_2 = 0 \\ D_1 + D_2 = 0 \\ H_1 + H_2 = 0 \end{array}$$

[Coquel, Hérard, Saleh, S. 2014] : modèle (plutôt) bien posé...

Asymptotics : [Kapila et al. 2001], [Flåtten, Lund 2011], [Lund 2012]...

Difficultés et besoins

- Définition des termes "convectifs"
→ V_I , P_I , produits non conservatifs...
- Définition des termes sources
→ S_k , M_k , Q_k , H_k , asymptotiques
- **Validité du modèle** (analyse & approximation, régimes...)

Difficultés et besoins

- Définition des termes "convectifs"
→ V_I , P_I , produits non conservatifs...
- Définition des termes sources
→ S_k , M_k , Q_k , H_k , asymptotiques
- **Validité du modèle** (analyse & approximation, régimes...)

Dérivation rigoureuse

Hillairet, Bresch, Burtea, Lagoutière, Gonin-Joubert...

1. Équations de Navier-Stokes avec oscillations pour le mélange
 2. Fréquence des oscillations → $+\infty$
 3. Identification des EDP à la limite
- Modèles de **Baer-Nunziato 1D** à **une vitesse, visqueux et sans transition de phase**

Difficultés et besoins

- Définition des termes "convectifs"
→ V_I , P_I , produits non conservatifs...
- Définition des termes sources
→ S_k , M_k , Q_k , H_k , asymptotiques
- **Validité du modèle** (analyse & approximation, régimes...)

Dérivation rigoureuse

Hillairet, Bresch, Burtea, Lagoutière, Gonin-Joubert...

1. Équations de Navier-Stokes avec oscillations pour le mélange
2. Fréquence des oscillations $\rightarrow +\infty$
3. Identification des EDP à la limite

→ Modèles de **Baer-Nunziato 1D** à **une vitesse**, **visqueux** et **sans transition de phase**

Points bloquants

- Un modèle unique pour le mélange initial
- Une seule vitesse
- Cas unidimensionnel
- Pas de transition de phase

Difficultés et besoins

- Définition des termes "convectifs"
→ V_I , P_I , produits non conservatifs...
- Définition des termes sources
→ S_k , M_k , Q_k , H_k , asymptotiques
- **Validité du modèle** (analyse & approximation, régimes...)

Dérivation rigoureuse

Hillairet, Bresch, Burtea, Lagoutière, Gonin-Joubert...

1. Équations de Navier-Stokes avec oscillations pour le mélange
2. Fréquence des oscillations → $+\infty$
3. Identification des EDP à la limite

→ Modèles de **Baer-Nunziato 1D** à **une vitesse, visqueux et sans transition de phase**

Points bloquants

- ↔ **Un modèle unique pour le mélange initial**
- ↔ **Une seule vitesse**
- ↔ **Cas unidimensionnel**
- Pas de transition de phase

Modèle d'écoulement à bulles

[[Hillairet, Mathis, S., M2AN 2023]]

- **Fluide (liquide) compressible barotrope** (Navier–Stokes) : $\rho_f(t, x)$, $\rho_f u_f(t, x)$

$$\begin{cases} \partial_t \rho_f + \operatorname{div}(\rho_f u_f) = 0 \\ \partial_t(\rho_f u_f) + \operatorname{div}(\rho_f u_f \otimes u_f) = \operatorname{div} \Sigma_f \end{cases}$$

- **N Bulles sphériques compressibles** $B_k(t) = \mathcal{B}(X_k(t), R_k(t))$, $k = 1, \dots, N$

$$u_k(\cdot, x) = \dot{X}_k + \omega_k \times (x - X_k) + \frac{\Lambda_k}{3}(x - X_k)$$

↪ **Équations différentielles** sur $(X_k(t), R_k(t), \omega_k(t))$

- **Tension de surface** aux interfaces

$$\begin{cases} u_f = y_k \\ (\Sigma_f - \Sigma_k)n_k = \gamma_s n_k \end{cases} \quad \text{sur } \partial B_k$$

Rq. $\not\Leftarrow$ Équations de Navier-Stokes avec oscillations

Modèle **moyenné** d'écoulement à bulles

[[Hillairet, Mathis, S., M2AN 2023]]

- Si $\gamma_s = 0$, on retrouve les travaux précédents
- Restriction au **cadre 1D**
- Asymptotiques quand $N \rightarrow +\infty$

| | |
|-------------------------------|---|
| $ B_k \sim N^{-1}$, | volume des bulles $\rightarrow 0$ |
| $m_k \sim N^{-1}$, | masse volumique du gaz "pertinente" |
| $d(B_k, B_{k+1}) \sim N^{-1}$ | distance entre les bulles $\rightarrow 0$ |
| $\gamma_s \sim N^{-1}$, | tension de surface $\rightarrow 0$ |

Représentation volumique des bulles

$$\chi_g^{(N)}(t, x) = \sum_{k=1}^N 1_{B_k(t)}(x)$$

Fonction de distribution des bulles en position et rayon

$$S_t^{(N)}(x, r) = \frac{1}{N} \sum_{k=1}^N \delta_{(X_k(t), NR_k(t))}(x, r)$$

Passage à la limite $N \rightarrow +\infty$

Approche volumique

De la fonction indicatrice $\chi_g^{(N)} \in \{0, 1\}$ à la **probabilité de présence** $\bar{\alpha}_g \in [0, 1]$:

$$\chi_g^{(N)} \rightharpoonup \bar{\alpha}_g \quad L^\infty - w^*$$

\rightsquigarrow EDP sur $\bar{\alpha}_g$: $\partial_t \bar{\alpha}_g + \operatorname{div}_x(\bar{\alpha}_g \bar{u}) = \frac{\bar{\alpha}_g}{\mu_g} (\bar{\Sigma}_g + p_g(\bar{\rho}_g) + \bar{\gamma}_s \bar{f}_g)$

Écoulements à bulles avec tension de surface

Passage à la limite $N \rightarrow +\infty$

Approche volumique

De la fonction indicatrice $\chi_g^{(N)} \in \{0, 1\}$ à la **probabilité de présence** $\bar{\alpha}_g \in [0, 1]$:

$$\chi_g^{(N)} \rightharpoonup \bar{\alpha}_g \quad L^\infty - w^*$$

$$\rightsquigarrow \text{EDP sur } \bar{\alpha}_g : \partial_t \bar{\alpha}_g + \operatorname{div}_x(\bar{\alpha}_g \bar{u}) = \frac{\bar{\alpha}_g}{\mu_g} (\bar{\Sigma}_g + p_g(\bar{\rho}_g) + \bar{\gamma}_s \bar{f}_g)$$

Approche "cinétique"

Fonction de distribution des bulles : $S_t^{(N)}(x, r) = \frac{1}{N} \sum_k \delta_{(X_k(t), NR_k(t))}(x, r)$

- $\frac{d}{dt} \langle S_t^{(N)}, \beta \rangle = \frac{1}{N} \sum_{k=1}^N \left(\dot{X}_k \cdot \nabla_x \beta(X_k, NR_k) + N \dot{R}_k \partial_r \beta(X_k, NR_k) \right)$
- $\dot{X}_k(t) = \tilde{u}^{(N)}(t, X_k) \quad \text{et} \quad \Sigma_g = \mu_g \frac{\dot{R}_k}{R_k} - p_g(\rho_g) - \frac{\bar{\gamma}_s}{2NR_k}$

Écoulements à bulles avec tension de surface

Passage à la limite $N \rightarrow +\infty$

Approche volumique

De la fonction indicatrice $\chi_g^{(N)} \in \{0, 1\}$ à la **probabilité de présence** $\bar{\alpha}_g \in [0, 1]$:

$$\chi_g^{(N)} \rightharpoonup \bar{\alpha}_g \quad L^\infty - w^*$$

$$\rightsquigarrow \text{EDP sur } \bar{\alpha}_g : \partial_t \bar{\alpha}_g + \operatorname{div}_x(\bar{\alpha}_g \bar{u}) = \frac{\bar{\alpha}_g}{\mu_g} (\bar{\Sigma}_g + p_g(\bar{\rho}_g) + \bar{\gamma}_s \bar{f}_g)$$

Approche "cinétique"

Fonction de distribution des bulles : $S_t^{(N)}(x, r) = \frac{1}{N} \sum_k \delta_{(X_k(t), NR_k(t))}(x, r)$

- $\frac{d}{dt} \langle S_t^{(N)}, \beta \rangle = \frac{1}{N} \sum_{k=1}^N \left(\dot{X}_k \cdot \nabla_x \beta(X_k, NR_k) + NR_k \dot{R}_k \partial_r \beta(X_k, NR_k) \right)$
- $\dot{X}_k(t) = \tilde{u}^{(N)}(t, X_k) \quad \text{et} \quad \Sigma_g = \mu_g \frac{\dot{R}_k}{R_k} - p_g(\rho_g) - \frac{\bar{\gamma}_s}{2NR_k}$

\rightsquigarrow **Équation cinétique de Boltzmann-Williams**

$$\partial_t \bar{S}_g(t, x, r) + \partial_x(\bar{S}_g \bar{u}) + \frac{1}{\mu_g} \partial_r((r(\bar{\Sigma}_g + p_g(\bar{\rho}_g)) + \bar{\gamma}_s/2) \bar{S}_g) = 0$$

Modèle macroscopique sur $(\bar{\alpha}_f, \bar{\alpha}_g \bar{f}_g, \bar{\alpha}_f \bar{\rho}_f, \bar{\alpha}_g \bar{\rho}_g, \bar{\rho} \bar{u})(t, x)$

$$\begin{cases} \partial_t \bar{\alpha}_f + \bar{u} \partial_x \bar{\alpha}_f = \frac{\bar{\alpha}_g \bar{\alpha}_f}{\bar{\alpha}_f \mu_g + \bar{\alpha}_g \mu_f} \left[(\mu_g - \mu_f) \partial_x \bar{u} + (P_f(\bar{\rho}_f) - P_g(\bar{\rho}_g)) - \bar{\gamma}_s \bar{f}_g \right] \\ \partial_t (\bar{\alpha}_g \bar{f}_g) + \partial_x (\bar{\alpha}_g \bar{f}_g \bar{u}) = 0 \\ \partial_t (\bar{\alpha}_f \bar{\rho}_f) + \partial_x (\bar{\alpha}_f \bar{\rho}_f \bar{u}) = 0 \\ \partial_t (\bar{\alpha}_g \bar{\rho}_g) + \partial_x (\bar{\alpha}_g \bar{\rho}_g \bar{u}) = 0 \\ \partial_t (\bar{\rho} \bar{u}) + \partial_x (\bar{\rho} \bar{u}^2) = \frac{\mu_g \mu_f}{\bar{\alpha}_f \mu_g + \bar{\alpha}_g \mu_f} \left[\partial_x \bar{u} - \left(\frac{\bar{\alpha}_f}{\mu_f} P_f(\bar{\rho}_f) + \frac{\bar{\alpha}_g}{\mu_g} P_g(\bar{\rho}_g) \right) - \bar{\gamma}_s \frac{\bar{\alpha}_g}{\mu_g} \bar{f}_g \right] \end{cases}$$

Équation de Boltzmann–Williams sur $\bar{S}_g(t, x, r)$

$$\partial_t \bar{S}_g + \partial_x (\bar{S}_g \bar{u}) + \frac{1}{\mu_g} \partial_r ((r(\bar{\Sigma} + P_g(\bar{\rho}_g)) + \bar{\gamma}_s/2) \bar{S}_g) = 0$$

Travaux en cours

- Passage au cadre multidimensionnel et numérique...
- Modèles d'ordre supérieur (troncature en N^{-k})
- Couplage micro/macro, lien avec les modèles de spray...

Fabien Lespagnol
Giscard Leonel Zouakeu

Dans certaines configurations "hétérogènes", il est nécessaire de considérer des **vitesses de phases distinctes**.

- Traînée peu importante
- Certains écoulements dispersés
- Interfaces // à l'écoulement (annulaires, stratifiés...)

Difficultés

- Écoulement non visqueux : peu ou pas d'échanges entre phases
→ pas de modélisation des termes sources [Stewart, Wendroff 84]...
- Écoulement visqueux : continuité du champ de vitesse trop contraignant

Dans certaines configurations "hétérogènes", il est nécessaire de considérer des **vitesses de phases distinctes**.

- Traînée peu importante
- Certains écoulements dispersés
- Interfaces // à l'écoulement (annulaires, stratifiés...)

Difficultés

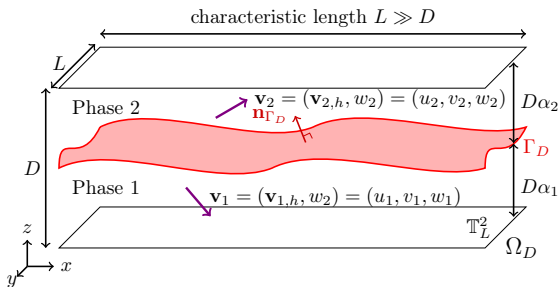
- Écoulement non visqueux : peu ou pas d'échanges entre phases
→ pas de modélisation des termes sources [Stewart, Wendroff 84]...
- Écoulement visqueux : continuité du champ de vitesse trop contraignant

Cadre de l'étude

- Écoulement **stratifié** avec deux fluides **visqueux**
- **Condition d'interface** de type Navier
- Asymptotique de type **film mince** : 3D → 2D

Thèse de [Pierrick Le Vourc'h](#) (U. Montpellier, 2023) avec [Khaled Saleh](#) (Aix-Marseille)

Dérivation d'un modèle à deux vitesses : domaine



Écoulement **stratifié** avec deux fluides **visqueux** :

- Domaine $(\mathbf{x}, z) = (x, y, z) \in (0, L)^2 \times (0, D)$
- Interface : $\Gamma_D = \{\mathbf{x} \in (0, L)^2, z = D\alpha_1(t, \mathbf{X})\}$
- Domaine du fluide 1 : $\Omega_1 = \{\mathbf{x} \in (0, L)^2, z \in (0, D\alpha_1(t, \mathbf{X}))\}$
- Domaine du fluide 2 : $\Omega_2 = \{\mathbf{x} \in (0, L)^2, z \in (D\alpha_1(t, \mathbf{X}), D)\}$

Asymptotique de type **film mince** $L \gg D$: 3D \rightarrow 2D

Dérivation d'un modèle à deux vitesses : équations

Équation cinématique sur l'interface :

$$\partial_t(D\alpha_1) + \left(\sqrt{|\nabla_h(D\alpha_1)|^2 + 1} \right) \mathbf{n}_{\Gamma_D} = 0$$

Équations de Navier-Stokes sur Ω_k :

$$\partial_t \rho_k + \operatorname{div}(\rho_k \mathbf{v}_k) = 0$$

$$\partial_t(\rho_k \mathbf{v}_k) + \operatorname{div}(\rho_k \mathbf{v}_k \otimes \mathbf{v}_k) + \nabla p_k(\rho_k) = \operatorname{div} \mathbb{S}_k$$

$$\mathbb{S}_k = 2\mu_k \mathbb{D}_k(\mathbf{v}_k) + \lambda_k(\operatorname{div} \mathbf{v}_k) \mathbb{I}$$

Dérivation d'un modèle à deux vitesses : équations

Équation cinématique sur l'interface :

$$\partial_t(D\alpha_1) + \left(\sqrt{|\nabla_h(D\alpha_1)|^2 + 1} \right) \mathbf{n}_{\Gamma_D} = 0$$

Équations de Navier-Stokes sur Ω_k :

$$\partial_t \rho_k + \operatorname{div}(\rho_k \mathbf{v}_k) = 0$$

$$\partial_t(\rho_k \mathbf{v}_k) + \operatorname{div}(\rho_k \mathbf{v}_k \otimes \mathbf{v}_k) + \nabla p_k(\rho_k) = \operatorname{div} \mathbb{S}_k$$

$$\mathbb{S}_k = 2\mu_k \mathbb{D}_k(\mathbf{v}_k) + \lambda_k (\operatorname{div} \mathbf{v}_k) \mathbb{I}$$

Conditions aux bords (Navier) :

$$z = 0 : \begin{cases} w_1 = 0 \\ -\mathbb{S}_{1,hz} + \kappa_1 \mathbf{v}_{1,h} = 0 \end{cases}$$

$$z = D : \begin{cases} w_2 = 0 \\ +\mathbb{S}_{2,hz} + \kappa_2 \mathbf{v}_{2,h} = 0 \end{cases}$$

$$\text{où } \mathbb{S}_k = \begin{pmatrix} \mathbb{S}_{k,hh} & \mathbb{S}_{k,hz} \\ \mathbb{S}_{k,zh} & \mathbb{S}_{k,zz} \end{pmatrix}$$

Dérivation d'un modèle à deux vitesses : équations

Équation cinématique sur l'interface :

$$\partial_t(D\alpha_1) + \left(\sqrt{|\nabla_h(D\alpha_1)|^2 + 1} \right) \mathbf{n}_{\Gamma_D} = 0$$

Équations de Navier-Stokes sur Ω_k :

$$\begin{aligned}\partial_t \rho_k + \operatorname{div}(\rho_k \mathbf{v}_k) &= 0 \\ \partial_t(\rho_k \mathbf{v}_k) + \operatorname{div}(\rho_k \mathbf{v}_k \otimes \mathbf{v}_k) + \nabla p_k(\rho_k) &= \operatorname{div} \mathbb{S}_k \\ \mathbb{S}_k &= 2\mu_k \mathbb{D}_k(\mathbf{v}_k) + \lambda_k(\operatorname{div} \mathbf{v}_k) \mathbb{I}\end{aligned}$$

Conditions aux bords (Navier) :

$$z = 0 : \begin{cases} w_1 = 0 \\ -\mathbb{S}_{1,hz} + \kappa_1 \mathbf{v}_{1,h} = 0 \end{cases} \quad z = D : \begin{cases} w_2 = 0 \\ +\mathbb{S}_{2,hz} + \kappa_2 \mathbf{v}_{2,h} = 0 \end{cases}$$

Conditions à l'interface Γ_D : $\Sigma_k := -p_k(\rho_k) \mathbb{I} + \mathbb{S}_k$

$$z = D\alpha_1 : \begin{cases} \Sigma_1 \mathbf{n}_{\Gamma_D} = \Sigma_2 \mathbf{n}_{\Gamma_D} & \implies (\Sigma_1 \mathbf{n}_{\Gamma_D})_{\tan} = (\Sigma_2 \mathbf{n}_{\Gamma_D})_{\tan} \\ \mathbf{v}_1 \cdot \mathbf{n}_{\Gamma_D} = \mathbf{v}_2 \cdot \mathbf{n}_{\Gamma_D} \\ (\mathbb{S}_k \mathbf{n}_{\Gamma_D} + \kappa_i(\mathbf{v}_1 - \mathbf{v}_2))_{\tan} = 0 \end{cases}$$

Dérivation d'un modèle à deux vitesses : démarche

1. **Choix du régime** par rapport à $\varepsilon = D/L$: $W = \varepsilon U$
2. **Adimensionnement** des équations en fonction de ε
Par exemple

$$\begin{aligned} & \partial_t(\rho_k \mathbf{v}_{k,h}) + \operatorname{div}_h(\rho_k \mathbf{v}_{k,h} \otimes \mathbf{v}_{k,h}) + \partial_z(\rho_k w_k \mathbf{v}_{k,h}) + \nabla_h p_k \\ &= (\lambda_k + \mu_k) \nabla_h(\nabla \cdot \mathbf{v}_k) + \mu_k \Delta_h \mathbf{v}_{k,h} + \frac{\mu_k}{\varepsilon^2} \partial_{zz} \mathbf{v}_{k,h} \\ \varepsilon \left(\partial_t(\rho_k w_k) + \operatorname{div}_h(\rho_k w_k \mathbf{v}_{k,h}) + \frac{1}{\varepsilon} \partial_z p_k \right) \\ &= \frac{1}{\varepsilon} \left((\lambda_k + \mu_k) \partial_z(\nabla \cdot \mathbf{v}_k) + \mu_k \partial_{zz} w_k \right) + \mu_k \varepsilon \Delta_h w_k \end{aligned}$$

3. **Moyennes verticales** : $\bar{f}_1 = \frac{1}{\alpha_1} \int_0^{\alpha_1} f_1 dz$, $\bar{f}_2 = \frac{1}{\alpha_2} \int_{\alpha_1}^1 f_2 dz$, $\langle f_k \rangle = \frac{\overline{\rho_k f_k}}{\overline{\rho_k}}$
4. **On intègre les équations adimensionnées par rapport à z**
5. **On compare les termes en $\varepsilon \dots$**

Dérivation d'un modèle à deux vitesses : modèle asymptotique

On choisit les échelles suivantes :

$$\begin{cases} \mu_k = \widehat{\mu}_k \varepsilon^\tau, & \lambda_k = \widehat{\lambda}_k \varepsilon^\tau, & 0 < \tau < 2 \\ \kappa_i = \widehat{\kappa}_i \varepsilon, & \kappa_k = \widehat{\kappa}_k \varepsilon^\xi, & \xi \geq 1 \end{cases}$$

Alors, les solutions du modèle stratifié initial vérifient

$$\begin{aligned} \partial_t(\alpha_k \overline{\rho}_k) + \operatorname{div}_h(\alpha_k \overline{\rho}_k \langle \mathbf{v}_{k,h} \rangle) &= 0 && \text{exactement} \\ \partial_t(\alpha_k \overline{\rho}_k \langle \mathbf{v}_{k,h} \rangle) + \operatorname{div}_h(\alpha_k \overline{\rho}_k \langle \mathbf{v}_{k,h} \rangle \otimes \langle \mathbf{v}_{k,h} \rangle) + \alpha_k \nabla_h \overline{p}_k \\ &= -\delta_\xi \widehat{\kappa}_k \langle \mathbf{v}_{k,h} \rangle + (-1)^k \widehat{\kappa}_i (\langle \mathbf{v}_{1,h} \rangle - \langle \mathbf{v}_{2,h} \rangle) && \varepsilon^\tau + \varepsilon^{2-\tau} + (1 - \delta_\xi) \varepsilon^{\xi-1} \end{aligned}$$

avec

$$\alpha_1 + \alpha_2 = 1$$

$$\begin{cases} \overline{p}_k = p_k(\overline{\rho}_k) \\ \overline{p}_1 = \overline{p}_2 \end{cases} \quad \varepsilon^\tau$$

Dérivation d'un modèle à deux vitesses : modèle asymptotique

Modèle asymptotique bidimensionnel :

$$\begin{aligned}\partial_t(\alpha_k \bar{\rho}_k) + \operatorname{div}_h(\alpha_k \bar{\rho}_k \langle \mathbf{v}_{k,h} \rangle) &= 0 \\ \partial_t(\alpha_k \bar{\rho}_k \langle \mathbf{v}_{k,h} \rangle) + \operatorname{div}_h(\alpha_k \bar{\rho}_k \langle \mathbf{v}_{k,h} \rangle \otimes \langle \mathbf{v}_{k,h} \rangle) + \alpha_k \nabla_h \bar{p}_k \\ &= -\delta_\xi \widehat{\kappa}_k \langle \mathbf{v}_{k,h} \rangle + (-1)^k \widehat{\kappa}_i (\langle \mathbf{v}_{1,h} \rangle - \langle \mathbf{v}_{2,h} \rangle) \\ \begin{cases} \bar{p}_k = p_k(\bar{\rho}_k) \\ \bar{p}_1 = \bar{p}_2 \end{cases}\end{aligned}$$

- Modèle horizontal fermé
- Modèle à 2 vitesses et 1 pression
- Modèle à 1 vitesse et 1 pression si $\kappa_i = \widehat{\kappa}_i \varepsilon^\zeta$, $\zeta > 1$

Dérivation d'un modèle à deux vitesses : modèle asymptotique

Modèle asymptotique bidimensionnel :

$$\begin{aligned}\partial_t(\alpha_k \bar{\rho}_k) + \operatorname{div}_h(\alpha_k \bar{\rho}_k \langle \mathbf{v}_{k,h} \rangle) &= 0 \\ \partial_t(\alpha_k \bar{\rho}_k \langle \mathbf{v}_{k,h} \rangle) + \operatorname{div}_h(\alpha_k \bar{\rho}_k \langle \mathbf{v}_{k,h} \rangle \otimes \langle \mathbf{v}_{k,h} \rangle) + \alpha_k \nabla_h \bar{p}_k \\ &= -\delta_\varepsilon \widehat{\kappa}_k \langle \mathbf{v}_{k,h} \rangle + (-1)^k \widehat{\kappa}_i (\langle \mathbf{v}_{1,h} \rangle - \langle \mathbf{v}_{2,h} \rangle) \\ \begin{cases} \bar{p}_k = p_k(\bar{\rho}_k) \\ \bar{p}_1 = \bar{p}_2 \end{cases}\end{aligned}$$

- Modèle horizontal fermé
- Modèle à 2 vitesses et 1 pression
- Modèle à 1 vitesse et 1 pression si $\kappa_i = \widehat{\kappa}_i \varepsilon^\zeta$, $\zeta > 1$
- Cadre avec énergies possible :

$$z = D\alpha_1 : \quad -\beta_k \nabla \theta_k \cdot \mathbf{n}_{\Sigma_D} = h_c(\theta_1 - \theta_2)$$

avec

$$\begin{cases} \beta_k = \widehat{\beta}_k \varepsilon^\gamma & 0 \leq \gamma < 2 \\ h_c = \widehat{h}_c \varepsilon \end{cases}$$